

## 9.4 Απορρόφηση και διασπορά

### 9.4.1 Ηλεκτρομαγνητικά κύματα σε αγωγούς

Στην παρουσία αγωγών:  $\begin{cases} \text{Πυκνότητα ελεύθερων φορτίων } \rho_f \\ \text{Πυκνότητα ελεύθερων ρευμάτων } J_f \end{cases}$

$$\rightarrow \boxed{\vec{J}_f = \sigma \vec{E}}$$

$$\begin{aligned} (i) \quad \vec{\nabla} \cdot \vec{E} &= \frac{\rho_f}{\epsilon}, & (iii) \quad \vec{\nabla} \times \vec{E} &= -\frac{\partial \vec{B}}{\partial t} \\ (ii) \quad \vec{\nabla} \cdot \vec{B} &= 0, & (iv) \quad \vec{\nabla} \times \vec{B} &= \mu \underset{\vec{J}_f}{\sigma \vec{E}} + \mu \epsilon \frac{\partial \vec{E}}{\partial t} \end{aligned} \quad (9.118)$$

$$\begin{aligned} \vec{\nabla} \cdot \vec{J}_f &= -\frac{\partial \rho_f}{\partial t} \rightarrow \text{Εξίσωση συνέχειας} \\ \rightarrow \frac{\partial \rho_f}{\partial t} &= -\vec{\nabla} \cdot (\sigma \vec{E}) = -\sigma (\vec{\nabla} \cdot \vec{E}) = -\frac{\sigma}{\epsilon} \rho_f \\ \Rightarrow \boxed{\rho_f(t) = e^{-\frac{t}{\tau}} \rho_f(0)} &\rightarrow \text{Ελάττωση φορτίου} \\ \tau \equiv (\epsilon / \sigma) &\rightarrow \text{μέτρο "ποιότητας" αγωγού} \end{aligned}$$

$\sigma = \infty \rightarrow \tau \simeq 0 \rightarrow$  Ιδανικός Αγωγός

$\tau \ll \frac{1}{\omega} = \frac{T}{2\pi} \rightarrow$  Καλός Αγωγός

$\tau \gg \frac{1}{\omega} = \frac{T}{2\pi} \rightarrow$  Κακός Αγωγός

$\sigma = 0 \rightarrow \tau \rightarrow \infty \rightarrow$  Μονωτής

$$\xrightarrow{\rho_f=0} \begin{cases} (i) \quad \vec{\nabla} \cdot \vec{E} = 0, & (iii) \quad \vec{\nabla} \times \vec{E} = -\frac{\partial \vec{B}}{\partial t} \\ (ii) \quad \vec{\nabla} \cdot \vec{B} = 0, & (iv) \quad \vec{\nabla} \times \vec{B} = \mu\epsilon \frac{\partial \vec{E}}{\partial t} + \mu\sigma \vec{E} \end{cases} \quad (9.121)$$

$$\Rightarrow \left\{ \begin{array}{l} \nabla^2 \vec{E} = \mu\epsilon \frac{\partial^2 \vec{E}}{\partial t^2} + \mu\sigma \frac{\partial \vec{E}}{\partial t} \\ \nabla^2 \vec{B} = \mu\epsilon \frac{\partial^2 \vec{B}}{\partial t^2} + \mu\sigma \frac{\partial \vec{B}}{\partial t} \end{array} \right\} \quad (9.122) \xrightarrow{\text{ΛΥΣΕΙΣ}} \left\{ \begin{array}{l} \vec{E}(z,t) = \vec{E}_0 e^{i(\tilde{k}z - \omega t)} \\ \vec{B}(z,t) = \vec{B}_0 e^{i(\tilde{k}z - \omega t)} \end{array} \right\} \quad (9.123)$$

**Επίπεδα Κύματα**

$$\left\{ \begin{array}{l} \text{Μιγαδικός κυματάριθος} \\ \tilde{k}^2 = \mu\epsilon\omega^2 + i\mu\sigma\omega \end{array} \right.$$

$$\tilde{k} = k_a + ik_b = |\tilde{k}| e^{i\phi} = K e^{i\phi}$$

$$\Rightarrow k_{a,b} = \omega \sqrt{\frac{\mu\epsilon}{2}} \left[ \sqrt{1 + \left( \frac{\sigma}{\epsilon\omega} \right)^2} \pm 1 \right]^{1/2}$$

$$k = a + ib \Rightarrow k^2 = (a + ib)^2 = a^2 - b^2 + 2iab$$

$$= \mu\varepsilon\omega^2 + i\mu\sigma\omega \begin{cases} a^2 - b^2 = \mu\varepsilon\omega^2 (1) \\ b = \frac{\mu\sigma\omega}{2a} \quad (2) \end{cases}$$

$$\xrightarrow{(2),(1)} a^2 - \frac{\mu^2\sigma^2\omega^2}{4a^2} - \mu\varepsilon\omega^2 = 0 \Rightarrow 4a^4 - 4\mu\varepsilon\omega^2 a^2 - \mu^2\sigma^2\omega^2 = 0$$

$$\begin{cases} A = 4 \\ B = -4\mu\varepsilon\omega^2 \\ C = -\mu^2\sigma^2\omega^2 \\ a^2 = x \end{cases} \Rightarrow \boxed{Ax^2 + Bx + C = 0} \begin{cases} x_{1,2} = \frac{-B \pm \sqrt{B^2 - 4AC}}{2A} \\ a^2 = \frac{4\mu\varepsilon\omega^2 \pm \sqrt{16\mu^2\varepsilon^2\omega^4 + 16\mu^2\sigma^2\omega^2}}{8} \end{cases}$$

$$\Rightarrow a^2 (> 0) = \frac{\mu\varepsilon\omega^2}{2} \left( 1 + \sqrt{1 + \left( \frac{\sigma}{\varepsilon\omega} \right)^2} \right)$$

$$\Rightarrow \boxed{a \equiv k_a = \omega \sqrt{\frac{\mu\varepsilon}{2}} \sqrt{1 + \sqrt{1 + \left( \frac{\sigma}{\varepsilon\omega} \right)^2}}}$$

$$2) \Rightarrow b \equiv k_b = \frac{\mu\sigma\omega}{2\omega\sqrt{\frac{\mu\varepsilon}{2}} \left(1 + \sqrt{1 + \left(\frac{\sigma}{\varepsilon\omega}\right)^2}\right)^{1/2}} \xrightarrow{t=1+\left(\frac{\sigma}{\varepsilon\omega}\right)^2}$$

$$\rightarrow k_b = \frac{\sigma\sqrt{\mu}}{\sqrt{2\varepsilon}} \frac{\sqrt{\sqrt{t}-1}}{\sqrt{1+\sqrt{t}}\sqrt{\sqrt{t}-1}} = \frac{\sigma\sqrt{\mu}}{\sqrt{2\varepsilon}} \frac{\sqrt{\sqrt{t}-1}}{\sqrt{t}-1} =$$

$$= \frac{\sigma\sqrt{\mu}}{\sqrt{2\varepsilon}} \frac{\sqrt{\sqrt{t}-1}}{\sigma/\varepsilon\omega} = \omega\sqrt{\frac{\mu\varepsilon}{2}} \sqrt{\sqrt{t}-1}$$

$$\Rightarrow k_b = \omega\sqrt{\frac{\mu\varepsilon}{2}} \left( \sqrt{1 + \left(\frac{\sigma}{\varepsilon\omega}\right)^2} - 1 \right)^{1/2}$$

$$\xrightarrow{\text{Πεδία με απόσβεση}} \begin{cases} \vec{E}(z,t) = \vec{E}_0 e^{-k_b z} e^{i(k_a z - \omega t)} \\ \vec{B}(z,t) = \vec{B}_0 e^{-k_b z} e^{i(k_a z - \omega t)} \end{cases} \quad (9.127)$$

$$\begin{cases} \text{Απόσταση που το πλάτος μειώνεται κατά } 1/e \\ d = \left( \frac{1}{k_b} \right) \quad (9.128) \rightarrow \text{Επιδερμικό φαινόμενο} \end{cases}$$

$$k_a \rightarrow \text{καθορίζει τις φυσικές ποσότητες: } \lambda = \frac{2\pi}{k_a} \quad \omega = \nu k_a \quad \nu = \frac{c}{n}$$

$$\begin{cases} \text{Κακός αγωγός: ισχύει } \omega \gg \frac{\sigma}{\varepsilon} \text{ ή } \sigma \ll \varepsilon \omega \text{ (δηλ, υψηλές συχνότητες)} \\ \Rightarrow \boxed{k_a \cong \omega \sqrt{\varepsilon \mu}, \quad k_b = \frac{1}{d} \cong \frac{\sigma}{2} \sqrt{\frac{\mu}{\varepsilon}}} \end{cases}$$

Καλός μονωτής

$$\begin{cases} \text{Καλός αγωγός: ισχύει } \omega \ll \frac{\sigma}{\varepsilon} \text{ ή } \sigma \gg \varepsilon \omega \text{ (δηλ, χαμηλές συχνότητες)} \\ \Rightarrow \boxed{k_a \cong k_b \cong \sqrt{\frac{\omega \sigma \mu}{2}} = \frac{1}{d}} \quad (d \propto \omega^{-1/2}), \quad \nu = \frac{\omega}{k} \cong \sqrt{\frac{2\omega}{\mu \sigma}} \end{cases}$$

Καλός αγωγός

$$d \approx \frac{\lambda}{2\pi}$$

# Μονοχρωματικά κύματα σε αγωγίμα μέσα

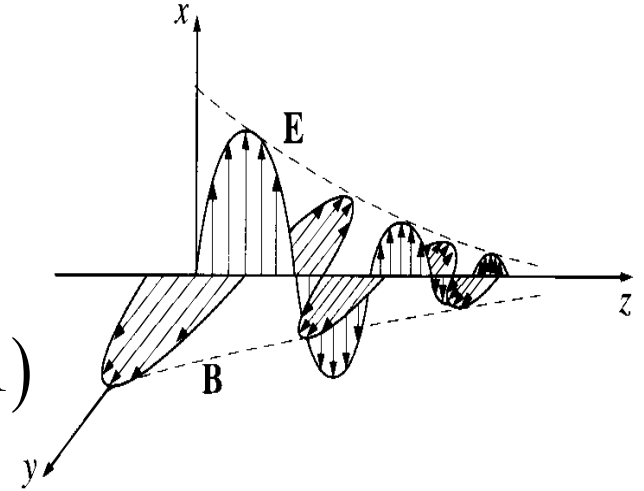
$\vec{E} \rightarrow$  πολωμένο στον άξονα  $x$ :

$$\Rightarrow \vec{E}(z,t) = \tilde{E}_0 e^{-k_b z} e^{i(k_a z - \omega t)} \hat{x} \quad (9.130)$$

$$(iii) \Rightarrow \vec{B}(z,t) = \left( \frac{\tilde{k}}{\omega} \right) \tilde{E}_0 e^{-k_b z} e^{i(k_a z - \omega t)} \hat{y} \quad (9.131)$$

$$\tilde{k} = k_a + ik_b = K e^{i\phi}, \quad \phi = \tan^{-1} \left( \frac{k_b}{k_a} \right)$$

$$\Rightarrow K = |\tilde{k}| = \sqrt{k_a^2 + k_b^2} = \omega \sqrt{\mu\epsilon} \sqrt{1 + \left( \frac{\sigma}{\epsilon\omega} \right)^2}$$



$$k_a = \omega \sqrt{\frac{\mu\epsilon}{2}} \left( \sqrt{1 + \left( \frac{\sigma}{\epsilon\omega} \right)^2} + 1 \right)^{1/2}$$

$$k_b = \omega \sqrt{\frac{\mu\epsilon}{2}} \left( \sqrt{1 + \left( \frac{\sigma}{\epsilon\omega} \right)^2} - 1 \right)^{1/2}$$

$$\tilde{E} = E_0 e^{i\delta_E} \quad \tilde{B} = B_0 e^{i\delta_B}$$

$$B_0 e^{i\delta_B} = \frac{|\tilde{k}|}{\omega} E_0 e^{i\delta_E} \rightarrow \frac{B_0}{E_0} = \frac{K}{\omega} = \sqrt{\mu\epsilon} \sqrt{1 + \left( \frac{\sigma}{\epsilon\omega} \right)^2}$$

$$\delta_B - \delta_E = \phi \rightarrow \text{καθυστέρηση μαγνητικού πεδίου}$$

Πραγματικά  $E$  και  $B$  πεδία

$$\vec{E}(z,t) = E_0 e^{-k_b z} \cos(k_a z - \omega t + \delta_E) \hat{x} \quad (9.138)$$

$$\vec{B}(z,t) = \left( \frac{K}{\omega} \right) E_0 e^{-k_b z} \cos(k_a z - \omega t + \delta_E + \phi) \hat{y}$$

# Μονοχρωματικά κύματα σε αγωγίμα μέσα

$$u = \frac{1}{2} \left( \varepsilon E^2 + \frac{B^2}{\mu} \right) \quad \text{Η πυκνότητα ενέργειας είναι}$$

$$= \frac{1}{2} E_o^2 e^{-2k_b z} \left[ \varepsilon \cos^2(k_a z - \omega t + \delta_E) + \frac{K^2}{\mu \omega^2} \cos^2(k_a z - \omega t + \delta_E + \phi) \right]$$

$$\langle u \rangle = \frac{1}{4} \varepsilon E_o^2 e^{-2k_b z} \left[ 1 + \sqrt{1 + \left( \frac{\sigma}{\varepsilon \omega} \right)^2} \right] = \boxed{\frac{k_a^2}{2\mu \omega^2} E_o^2 e^{-2k_b z}} \quad \langle \cos^2() \rangle = \frac{1}{2}$$

$$\vec{S} = \frac{1}{\mu} (\vec{E} \times \vec{B}) \quad \text{το διάνυσμα Poynting}$$

$$= \frac{K}{\mu \omega} E_o^2 e^{-2k_b z} \left[ \cos(k_a z - \omega t + \delta_E) \cos(k_a z - \omega t + \delta_E + \phi) \right] \hat{z}$$

$$\rightarrow \langle \vec{S} \rangle = \frac{K}{\mu \omega} E_o^2 e^{-2k_b z} \langle \cos(k_a z - \omega t + \delta_E) \cos(k_a z - \omega t + \delta_E + \phi) \rangle \hat{z}$$

$$\langle \rangle = \frac{1}{2\pi} \int_0^{2\pi} \cos \theta \cos(\theta + \phi) d\theta = \frac{1}{2} \cos \phi$$

$$\rightarrow \langle \vec{S} \rangle = \frac{1}{2} \frac{K \cos \phi}{\mu \omega} E_o^2 e^{-2k_b z} \hat{z} \xrightarrow{k_a = K \cos \phi} \boxed{\langle \vec{S} \rangle = \frac{1}{2} \frac{k_a}{\mu \omega} E_o^2 e^{-2k_b z} \hat{z}} \Rightarrow \boxed{I = \langle |\vec{S}| \rangle = \frac{k_a}{2\mu \omega} E_o^2 e^{-2k_b z}}$$

## Το Ηλεκτρομαγνητικό Φάσμα

Συχνότητα (Hz)	Όνομα της ακτινοβολίας	Μήκος κύματος (m)
$10^{22}$ —	Ακτίνες γάμμα	$10^{-13}$
$10^{21}$ —		$10^{-12}$
$10^{20}$ —		$10^{-11}$
$10^{19}$ —		$10^{-10}$
$10^{18}$ —	Ακτίνες X	$10^{-9}$
$10^{17}$ —		$10^{-8}$
$10^{16}$ —	Υπεριώδες	$10^{-7}$
$10^{15}$ —		$10^{-6}$
$10^{14}$ —	Ορατό	$10^{-5}$
$10^{13}$ —		$10^{-4}$
$10^{12}$ —	Υπέρυθρο	$10^{-3}$
$10^{11}$ —		$10^{-2}$
$10^{10}$ —	<b>(microwave)</b> Μικροκύματα	$10^{-1}$
$10^9$ —		1
$10^8$ —	TV, FM	10
$10^7$ —		$10^2$
$10^6$ —	<b>(AM)</b> Μεσαία κύματα	$10^3$
$10^5$ —		$10^4$
$10^4$ —	<b>(RF)</b> Ραδιοσυχνότητες	$10^5$
$10^3$ —		



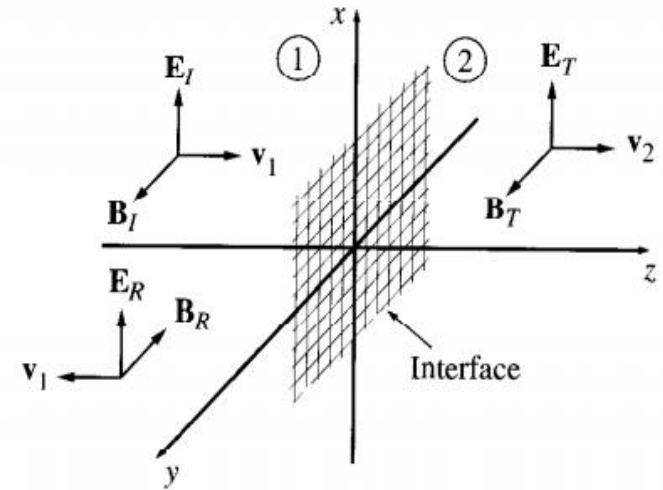
## Ορατό Φάσμα

Χρώμα	Μήκος κύματος (m)	Συχνότητα (Hz)
Εγγύς υπεριώδες	$3,0 \times 10^{-7}$	$10,0 \times 10^{14}$
Ελάχιστο ορατό κυανό μήκος κύματος	$4,0 \times 10^{-7}$	$7,5 \times 10^{14}$
Κυανό (μπλε)	$4,6 \times 10^{-7}$	$6,5 \times 10^{14}$
Πράσινο	$5,4 \times 10^{-7}$	$5,6 \times 10^{14}$
Κίτρινο	$5,9 \times 10^{-7}$	$5,1 \times 10^{14}$
Πορτοκαλί	$6,1 \times 10^{-7}$	$4,9 \times 10^{14}$
Μέγιστο ορατό ερυθρό μήκος κύματος	$7,6 \times 10^{-7}$	$3,9 \times 10^{14}$
Εγγύς υπέρυθρο	$10,0 \times 10^{-7}$	$3,0 \times 10^{14}$

## 9.4.2 Ανάκλαση και μετάδοση σε αγωγή επιφάνεια

Προσπίπτον

$$\left\{ \begin{array}{l} \vec{\tilde{E}}_I(z,t) = \vec{\tilde{E}}_{0_I} e^{i(k_1 z - \omega t)} \hat{x} \\ \vec{\tilde{B}}_I(z,t) = \vec{\tilde{B}}_{0_I} e^{i(k_1 z - \omega t)} \hat{y} = \frac{1}{v_1} \vec{\tilde{E}}_{0_I} e^{i(k_1 z - \omega t)} \hat{y} \end{array} \right\} \quad (9.140)$$



Ανακλώμενο

$$\left\{ \begin{array}{l} \vec{\tilde{E}}_R(z,t) = \vec{\tilde{E}}_{0_R} e^{i(-k_1 z - \omega t)} \hat{x} \\ \vec{\tilde{B}}_R(z,t) = -\frac{1}{v_1} \vec{\tilde{E}}_{0_R} e^{i(-k_1 z - \omega t)} \hat{y} \end{array} \right.$$

Μεταδιδόμενο

$$\left\{ \begin{array}{l} \vec{\tilde{E}}_T(z,t) = \vec{\tilde{E}}_{0_T} e^{i(\tilde{k}_2 z - \omega t)} \hat{x} \\ \vec{\tilde{B}}_T(z,t) = \frac{\tilde{k}_2}{\omega} \vec{\tilde{E}}_{0_T} e^{i(\tilde{k}_2 z - \omega t)} \hat{y} \\ \tilde{k}_2 = k_{2a} + ik_{2b} \rightarrow \text{μιγαδικός αριθμός} \end{array} \right.$$

Που έχει απόσβεση καθώς διεισδύει στον αγωγό

# Συνοριακές Συνθήκες:

*Συνοριακές συνθήκες σε αγωγή επιφάνεια*

$$(i) \quad \varepsilon_1 E_{1\perp} - \varepsilon_2 E_{2\perp} = \sigma_f \quad (iii) \quad \vec{E}_{1\parallel} = \vec{E}_{2\parallel}$$

$$(ii) \quad B_{1\perp} = B_{2\perp} \quad (iv) \quad \frac{1}{\mu_1} \vec{B}_{1\parallel} - \frac{1}{\mu_2} \vec{B}_{2\parallel} = \vec{K}_f \times \hat{n}$$

$\sigma_f$ : η πυκνότητα του ελεύθερου επιφανειακού φορτίου

$\vec{K}_f$ : η πυκνότητα του ελεύθερου επιφανειακού ρεύματος

*Στο επίπεδο  $\chi = 0$ :*

$$E_{\perp} = 0 \rightarrow (i) \Rightarrow \sigma_f = 0$$

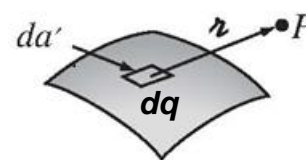
$$B_{\perp} = 0 \rightarrow (ii) \Rightarrow \text{ισχύει αυτόματα}$$

$$(iii) \rightarrow \boxed{\tilde{E}_{0_I} + \tilde{E}_{0_R} = \tilde{E}_{0_T}} \quad (9.143)$$

$$(iv) \rightarrow \xrightarrow{K_f=0} \frac{1}{\mu_1 \nu_1} (\tilde{E}_{0_I} - \tilde{E}_{0_R}) - \frac{\tilde{k}_2}{\mu_2 \omega_2} \tilde{E}_{0_T} = 0 \rightarrow \boxed{\tilde{E}_{0_I} - \tilde{E}_{0_R} = \tilde{\beta} \tilde{E}_{0_T}} \quad (9.145)$$

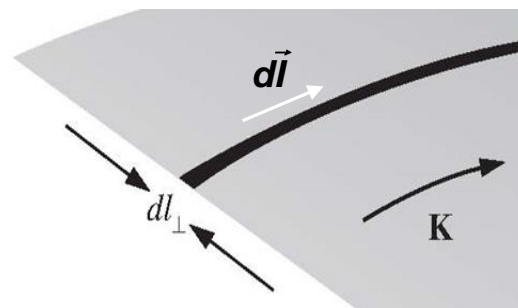
$$\Rightarrow \boxed{\tilde{E}_{0_R} = \left( \frac{1 - \tilde{\beta}}{1 + \tilde{\beta}} \right) \tilde{E}_{0_I}, \quad \tilde{E}_{0_T} = \left( \frac{2}{1 + \tilde{\beta}} \right) \tilde{E}_{0_I}} \quad (9.147)$$

$$\Rightarrow \boxed{\tilde{\beta} = \frac{\mu_1 \nu_1 \tilde{k}_2}{\mu_2 \omega}} \quad (9.146)$$



Επιφανειακό φορτίο,  $\sigma$

$$\sigma = \frac{dq}{d\alpha'}$$



$$\vec{K} = \frac{d\vec{l}}{d\ell_{\perp}}$$

Για τέλειο αγωγό  $\left[ \left( \sigma \rightarrow \infty, \xrightarrow{(9.126)} \tilde{k}_2 \rightarrow \infty \right) \Rightarrow \beta \rightarrow \infty \right]:$

$$\Rightarrow \tilde{E}_{0_R} = -\tilde{E}_{0_I} \quad \tilde{E}_{0_T} = 0 \quad (9.148)$$

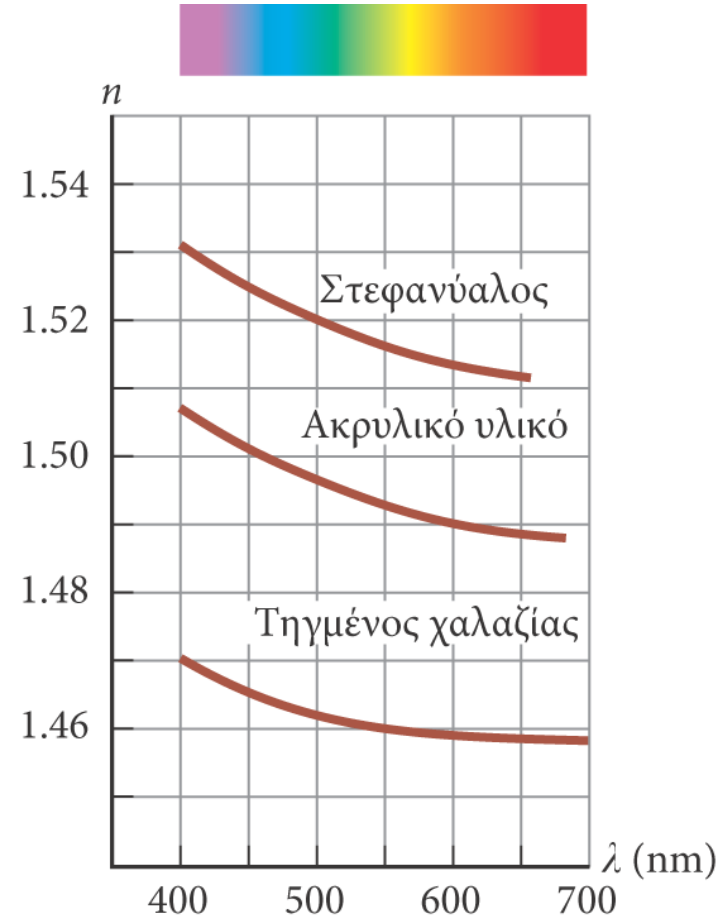
Κύμα υφίσταται ολική ανάκλαση με  $\phi = 180^\circ$

Καλός αγωγός: ισχύει  $\omega \ll \frac{\sigma}{\varepsilon}$  ή  $\sigma \gg \varepsilon\omega$

$$R = \frac{I_R}{I_I} = \left( \frac{E_{0_R}}{E_{0_I}} \right)^2 = \left| \frac{1 - \tilde{\beta}}{1 + \tilde{\beta}} \right|^2 = \left( \frac{1 - \tilde{\beta}}{1 + \tilde{\beta}} \right) \left( \frac{1 - \widetilde{\beta^*}}{1 + \widetilde{\beta^*}} \right)$$

# Διασπορά

- ❑ Για ένα δεδομένο υλικό, ο δείκτης διάθλασης μεταβάλλεται συναρτήσει του μήκους κύματος του φωτός το οποίο διέρχεται από το υλικό.
- ❑ Αυτή η εξάρτηση του δείκτη διάθλασης  $n$  από το μήκος κύματος του φωτός  $\lambda$  ονομάζεται *διασπορά*.
- ❑ Σύμφωνα με τον νόμο της διάθλασης του Snell, όταν σε ένα διαθλαστικό υλικό προσπίπτει φως με διαφορετικά μήκη κύματος, τότε εκτρέπεται υπό διαφορετικές γωνίες.
- ❑ Γενικά, ο δείκτης διάθλασης ενός υλικού μειώνεται όταν αυξάνεται το μήκος κύματος του φωτός.



## 9.4 Απορρόφηση και διασπορά

### 9.4.3 Εξάρτηση από τη συχνότητα των $\epsilon$ , $\mu$ και $\sigma$ .

Μή αγώγιμα υλικά

$$v = \frac{1}{\sqrt{\epsilon\mu}} \rightarrow \text{σταθ.}?$$

$$\eta = \frac{c}{v} \sim \sqrt{\epsilon\mu} \rightarrow \text{σταθ.}?$$

Αλλά συνήθως

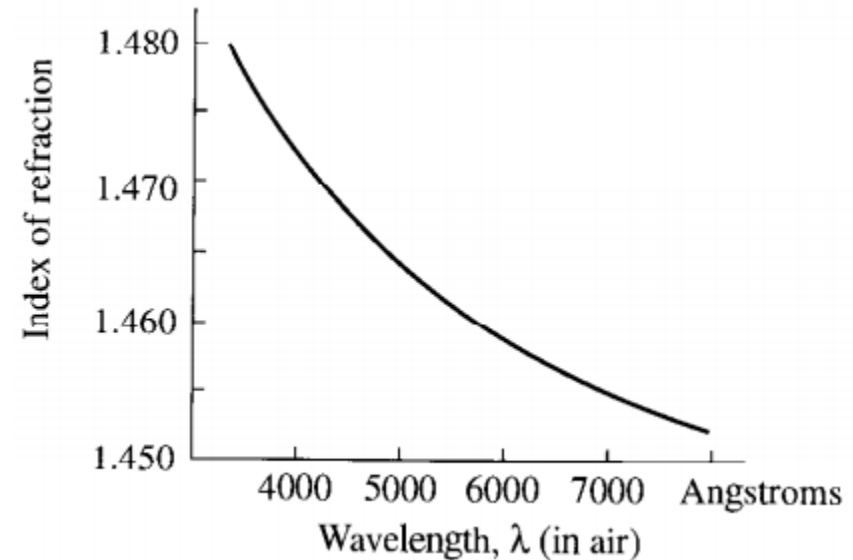
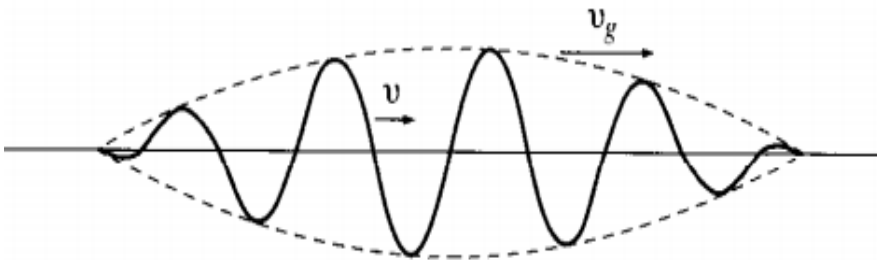
$$n = F(\omega)$$

$$\epsilon = f(\omega)$$

$$\mu = \varphi(\omega)$$

$$\sigma = \Phi(\omega)$$

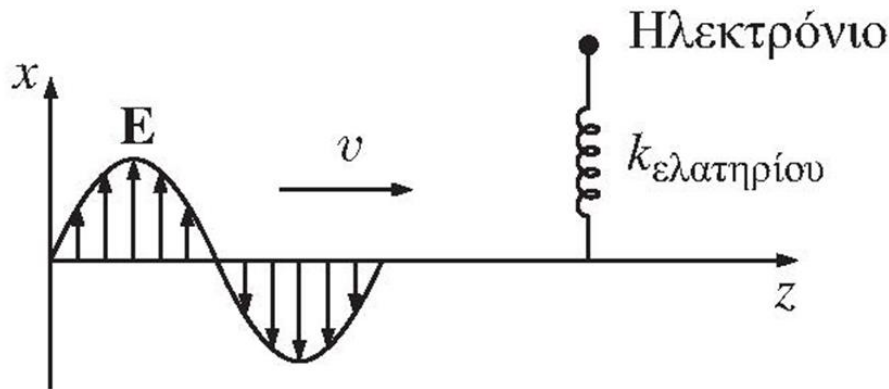
Επειδή τα κύματα διαφορετικών συχνοτήτων κινούνται με διαφορετικές ταχύτητες σε ένα μέσο διασποράς, μια κυματομορφή που είναι επαλληλία κυμάτων ποικίλων συχνοτήτων αλλάζει σχήμα καθώς προχωρά.



$$v = \frac{\omega}{k} \rightarrow \text{φασική ταχύτητα}$$

$$v_g = \frac{d\omega}{dk} \rightarrow \text{ταχύτητα ομάδας}$$

# Διασπορά σε Μη Αγώγιμα Υλικά



$$\omega_0 = \sqrt{\frac{k_{\epsilon\lambda\alpha\tau}}{m}} = \sqrt{\frac{k_0}{m}}$$

$\omega_0 \rightarrow$  φυσική συχνότητα ταλάντωσης

- ❑ Τα ηλεκτρόνια ενός μη αγώγιμου υλικού είναι προσκολλημένα σε συγκεκριμένα μόρια μέσω πολύπλοκων συνδετικών δυνάμεων.
- ❑ Κάθε ηλεκτρόνιο είναι προσκολλημένο στο άκρο ενός ελατηρίου

$$F_1 \equiv F_{\delta\epsilon\sigma\mu\acute{o}\upsilon} = -k_{\epsilon\lambda\alpha\tau}x \equiv -m\omega_0^2x \rightarrow \text{Δύναμη επαναφοράς (Δεσμός μορώου)}$$

- ❑ Καθώς το ηλεκτρόνιο ταλαντώνεται, θα υποθέσουμε ότι ασκείται πάνω του κάποια δύναμη απόσβεσης

$$F_2 \equiv F_{\alpha\pi\acute{o}\sigma\beta\epsilon\sigma\eta\varsigma} = -m\gamma \frac{dx}{dt} \rightarrow \text{Δύναμη απόσβεσης (ακτινοβολία)}$$

- ❑ Παρουσία ενός ηλεκτρομαγνητικού κύματος συχνότητας  $\omega$ , πολωμένου στην διεύθυνση  $x$ , στον ηλεκτρόνιο ασκείται μια κινητήρας δύναμη

$$F_3 \equiv F_{\kappa\iota\eta\eta\epsilon\tau\eta\rho\iota\alpha} = qE = qE_0 \cos(\omega t) \rightarrow \text{Κινητήρια δύναμη (λόγω Η/Μ πεδίου)}$$

# Διασπορά σε Μη Αγώγιμα Υλικά

Εξαναγκασμένη αρμονική ταλάντωση ηλεκτρονίου

$$m \frac{d^2 \chi}{dt^2} = F_{o\lambda} = F_1 + F_2 + F_3$$

$$m \frac{d^2 x}{dt^2} + m\gamma \frac{dx}{dt} + m\omega_0^2 x = qE_0 \cos(\omega t)$$

$$\frac{d^2 \tilde{x}}{dt^2} + \gamma \frac{d\tilde{x}}{dt} + \omega_0^2 \tilde{x} = \frac{q}{m} E_0 e^{-i\omega t} \quad (9.155)$$

$$\left\{ \begin{array}{l} \boxed{\tilde{x}(t) = \tilde{x}_0 e^{-i\omega t}} \rightarrow \text{Μόνιμη λύση} \quad (9.156) \end{array} \right.$$

$$\left\{ \begin{array}{l} (9.155) \xrightarrow{\tilde{x}(t) = \tilde{x}_0 e^{-i\omega t}} \boxed{\tilde{x}_0 = \frac{q/m}{(\omega_0^2 - \omega^2) - i\gamma\omega} E_0} \quad (9.157) \end{array} \right.$$

$$\left\{ \begin{array}{l} \tilde{p}_1 = q\tilde{x}(t) = \frac{(q^2/m)}{(\omega_0^2 - \omega^2) - i\gamma\omega} E_0 e^{-i\omega t} \quad (9.158) \rightarrow \text{διπολική ροπή } e^- \\ \vec{\tilde{P}} = \frac{Nq^2}{m} \left( \sum_j \frac{f_j}{(\omega_j^2 - \omega^2) - i\gamma_j\omega} \right) \vec{\tilde{E}} \quad (9.159) \rightarrow \text{συνολική πόλωση} \\ f_i \rightarrow \text{αριθμός } e^- \text{ με συχνότητα } \omega_j \\ N \equiv \text{Μόρια ανά μονάδα όγκου} \end{array} \right.$$



# Διασπορά σε Μη Αγώγιμα Υλικά

$$\left\{ \begin{array}{l} \vec{P} = \varepsilon_0 \tilde{\chi}_e \vec{E} \quad \vec{D} = \tilde{\varepsilon} \vec{E} = \varepsilon_0 (1 + \tilde{\chi}_e) \vec{E} \\ \rightarrow \tilde{\varepsilon} = \varepsilon_0 \left[ 1 + \frac{Nq^2}{m\varepsilon_0} \sum_j \frac{f_j}{(\omega_j^2 - \omega^2) - i\gamma_j\omega} \right] \end{array} \right. \quad (9.161)$$

$\tilde{\chi}_e$  μιγαδική επιδεκτικότητα  
 $\tilde{\varepsilon}$  μιγαδική δεκτικότητα

Σε ένα μέσο διασποράς, η κυματική εξίσωση:  $\nabla^2 \vec{E} = \tilde{\varepsilon} \mu_0 \frac{\partial^2 \vec{E}}{\partial t^2}$

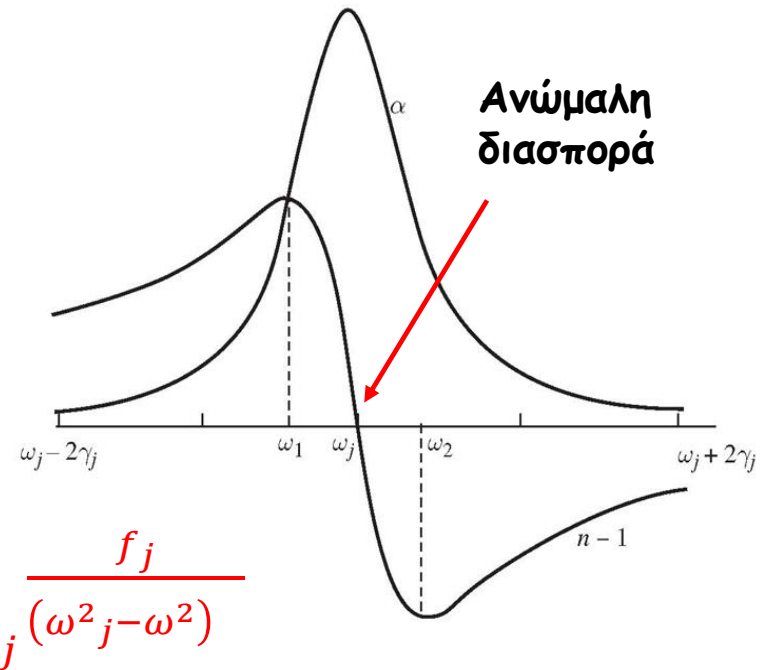
$$\left\{ \begin{array}{l} \tilde{k} = \sqrt{\tilde{\varepsilon} \mu_0} \omega = k_a + ik_b \\ \vec{E}(z, t) = \vec{E}_0 e^{-k_b z} e^{i(k_a z - \omega t)} \\ I \propto E^2 \propto e^{-2k_b z} \Rightarrow \boxed{\alpha = 2k_b} \rightarrow \text{Συντελεστής απορρόφησης} \end{array} \right.$$

$$\left\{ \begin{array}{l} v = \frac{\omega}{k_a} \Rightarrow n = \frac{c}{\omega} k_a \\ \rightarrow \tilde{k} = \frac{\omega}{c} \sqrt{\frac{\tilde{\varepsilon}}{\varepsilon_0}} \simeq \frac{\omega}{c} \left[ 1 + \frac{Nq^2}{2m\varepsilon_0} \sum_j \frac{f_j}{(\omega_j^2 - \omega^2) - i\gamma_j\omega} \right] \end{array} \right. \quad (9.169)$$

# Διασπορά σε Μη Αγώγιμα Υλικά

$$\left\{ \begin{aligned} n = \frac{c}{\omega} k_a \simeq 1 + \frac{Nq^2}{2m\epsilon_0} \sum_j \frac{f_j (\omega_j^2 - \omega^2)}{(\omega_j^2 - \omega^2)^2 + \gamma_j^2 \omega^2} \quad (9.170) \end{aligned} \right.$$

$$\left\{ \begin{aligned} \alpha = 2k_b \simeq \frac{Nq^2 \omega^2}{m\epsilon_0 c} \sum_j \frac{f_j \gamma_j}{(\omega_j^2 - \omega^2)^2 + \gamma_j^2 \omega^2} \quad (9.171) \end{aligned} \right.$$



Αν αγνοήσουμε την απόσβεση  $n = 1 + \frac{Nq^2}{2m\epsilon_0} \sum_j \frac{f_j}{(\omega_j^2 - \omega^2)}$

Μακριά από τους συντονισμούς και ειδικά για διαφανή υλικά, όπου  $\omega < \omega_j \equiv \text{υπεριώδεις}$

$$\frac{1}{(\omega_j^2 - \omega^2)} = \frac{1}{\omega_j^2} \left( 1 - \frac{\omega^2}{\omega_j^2} \right)^{-1} = \frac{1}{\omega_j^2} \left( 1 + \frac{\omega^2}{\omega_j^2} \right)$$

$$n = 1 + \left( \frac{Nq^2}{2m\epsilon_0} \sum_j \frac{f_j}{(\omega_j^2)} \right) + \omega^2 \left( \frac{Nq^2}{2m\epsilon_0} \sum_j \frac{f_j}{(\omega_j^4)} \right)$$

$$\lambda = \frac{2\pi c}{\omega} \quad \boxed{n = 1 + A \left( 1 + \frac{B}{\lambda^2} \right)} \quad (9.174) \rightarrow \text{εξώσωση cauchy}$$

A → συντελεστής διάθλαση B → συντελεστής διασποράς

## 9.5 Καθοδηγούμενα κύματα

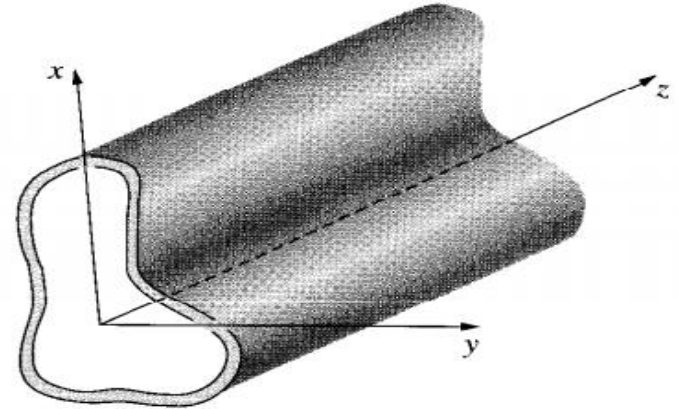
### 9.5.1 Κυματοδηγοί

Τέλειος αγωγός  $\rightarrow$  στο εσωτερικό του :  $E=B=0$  .  
Συνοριακές συνθήκες στο εσωτερικό τοίχωμα

$$\left. \begin{array}{l} (i) \quad E_{\parallel} = 0 \\ (ii) \quad B_{\perp} = 0 \end{array} \right\} \quad (9.175)$$

Μονοχρωματικά κύματα κατά μήκος του σωλήνα

$$\left. \begin{array}{l} (i) \quad \tilde{E}(x, y, z, t) = \tilde{E}_0(x, y) e^{i(kz - \omega t)} \\ (ii) \quad \tilde{B}(x, y, z, t) = \tilde{B}_0(x, y) e^{i(kz - \omega t)} \end{array} \right\} \quad (9.176)$$



$E$  και  $B$  πρέπει να ικανοποιούν τις εξισώσεις Maxwell στο εσωτερικό του αγωγού.

$$\left. \begin{array}{ll} (i) \quad \vec{\nabla} \cdot \vec{E} = 0, & (iii) \quad \vec{\nabla} \times \vec{E} = -\frac{\partial \vec{B}}{\partial t} \\ (ii) \quad \vec{\nabla} \cdot \vec{B} = 0, & (iv) \quad \vec{\nabla} \times \vec{B} = \frac{1}{c^2} \frac{\partial \vec{E}}{\partial t} \end{array} \right\} \quad (9.177)$$

## 9.5 Καθοδηγούμενα κύματα

Γενική έκφραση παίρνοντας και διαμήκεις συνιστώσες ( $E_z$  και  $B_z$ ):

$$\left\{ \begin{array}{l} \tilde{\mathbf{E}}_0 = E_x \hat{x} + E_y \hat{y} + E_z \hat{z} \quad \hat{\mathbf{B}}_0 = B_x \hat{x} + B_y \hat{y} + B_z \hat{z} \quad (9.178) \\ E_{x,y,z} = E_{x,y,z}(x, y), B_{x,y,z} = B_{x,y,z}(x, y) \end{array} \right.$$

(9.177), (iii), (iv) [Προβλ.9.26(α)]  $\rightarrow$

$$\left\{ \begin{array}{ll} (i) \quad \frac{\partial E_y}{\partial x} - \frac{\partial E_x}{\partial y} = i\omega B_z & (iv) \quad \frac{\partial B_y}{\partial x} - \frac{\partial B_x}{\partial y} = -\frac{i\omega}{c^2} E_z \\ (ii) \quad \frac{\partial E_z}{\partial y} - ikE_y = i\omega B_x & (v) \quad \frac{\partial B_z}{\partial y} - ikB_y = -\frac{i\omega}{c^2} E_x \\ (iii) \quad ikE_x - \frac{\partial E_z}{\partial x} = i\omega B_y & (vi) \quad ikB_x - \frac{\partial B_z}{\partial x} = -\frac{i\omega}{c^2} E_y \end{array} \right. \quad (9.179)$$

## 9.5 Καθοδηγούμενα κύματα

Λύσεις των (9.179) :

$$\xrightarrow{(ii),(iii),(v),(vi)} \left\{ \begin{array}{l} (i) \quad E_x = \frac{i}{(\omega/c)^2 - k^2} \left( k \frac{\partial E_z}{\partial x} + \omega \frac{\partial B_z}{\partial y} \right) \\ (ii) \quad E_y = \frac{i}{(\omega/c)^2 - k^2} \left( k \frac{\partial E_z}{\partial y} - \omega \frac{\partial B_z}{\partial x} \right) \\ (iii) \quad B_x = \frac{i}{(\omega/c)^2 - k^2} \left( k \frac{\partial B_z}{\partial x} - \frac{\omega}{c^2} \frac{\partial E_z}{\partial y} \right) \\ (iv) \quad B_y = \frac{i}{(\omega/c)^2 - k^2} \left( k \frac{\partial B_z}{\partial y} + \frac{\omega}{c^2} \frac{\partial E_z}{\partial x} \right) \end{array} \right\} \quad (9.180)$$

$$\xrightarrow{(9.180), (9.177, i, iv) [\text{Προβλ. 9.26}(\beta)]} \left\{ \begin{array}{l} (i) \quad \left[ \frac{\partial^2}{\partial x^2} + \frac{\partial^2}{\partial y^2} + (\omega/c)^2 - k^2 \right] \mathbf{E}_z = 0 \\ (ii) \quad \left[ \frac{\partial^2}{\partial x^2} + \frac{\partial^2}{\partial y^2} + (\omega/c)^2 - k^2 \right] \mathbf{B}_z = 0 \end{array} \right\} \quad (9.181)$$

## 9.5 Καθοδηγούμενα κύματα

Αν  $E_z = 0 \rightarrow EH \rightarrow$  «εγκάρσια ηλεκτρικά» κύματα

$B_z = 0 \rightarrow EM \rightarrow$  «εγκάρσια μαγνητικά» κύματα

$E_z = 0$  και  $B_z = 0 \rightarrow EHM \rightarrow$  «εγκάρσια ηλεκτρομαγνητικά» κύματα

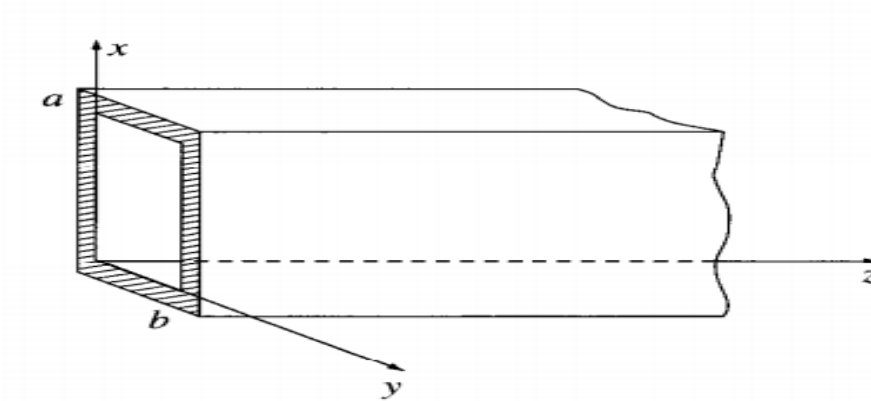
$$\left. \begin{aligned} E_z = 0 &\xrightarrow{(9.177(i))} \frac{\partial E_x}{\partial x} + \frac{\partial E_y}{\partial y} = 0 \\ B_z = 0 &\xrightarrow{(8.177(iii))} \frac{\partial E_y}{\partial x} - \frac{\partial E_x}{\partial y} = 0 \end{aligned} \right\}$$

$$(9.178) \Rightarrow \begin{cases} \vec{\nabla} \cdot \vec{E}_0 = 0 \\ \vec{\nabla} \times \vec{E}_0 = 0 \end{cases} \Rightarrow \vec{E}_0 = -\vec{\nabla} V$$

$$\Rightarrow \begin{cases} V \rightarrow \text{σταθ. στο εσωτερικό του αγωγού} \\ \vec{E}_0 = 0 \end{cases}$$

## 9.5 Καθοδηγούμενα κύματα

### 9.5.2 Κύματα σ' έναν ορθογώνιο κυματοδηγό



Επίλυση (9.181(ii)) με τη συνοριακή συνθήκη (9.175 (ii)):  $B_{\perp} = 0$

$$B_z(x, y) = X(x) \cdot Y(y)$$

$$\Rightarrow Y \frac{d^2 X}{dx^2} + X \frac{d^2 Y}{dy^2} + [(\omega/c)^2 - k^2] XY = 0$$

$$\Rightarrow \left\{ \begin{array}{l} (i) \frac{1}{X} \frac{d^2 X}{dx^2} = C_1 = -k_x^2, \quad (ii) \frac{1}{Y} \frac{d^2 Y}{dy^2} = C_2 = -k_y^2 \end{array} \right. \quad (9.182)$$

$$C_1 + C_2 + (\omega/c)^2 - k^2 = 0 \Rightarrow -k_x^2 - k_y^2 + (\omega/c)^2 - k^2 = 0 \quad (9.183)$$

# Λύση εξίσωσης Laplace καρτεσιανές συντεταγμένες

II. Σε δύο διαστάσεις (μέθοδος χωρισμού των μεταβλητών)

$$\nabla^2 V = \frac{\partial^2 V}{\partial x^2} + \frac{\partial^2 V}{\partial y^2} = 0$$

$$\Rightarrow \frac{1}{X(x)} \frac{d^2 X}{dx^2} + \frac{1}{Y(y)} \frac{d^2 Y}{dy^2} = 0 \Rightarrow \frac{1}{X} \frac{d^2 X}{dx^2} = C_1 = k^2, \quad \frac{1}{Y} \frac{d^2 Y}{dy^2} = C_2 = -k^2, \quad C_1 + C_2 = 0$$



$$V(x, y) = X(x) \cdot Y(y)$$

Γενική κατηγορία

$$\Rightarrow \frac{d^2 \Psi}{dx^2} + k^2 \Psi = 0, \quad \Psi'' + k^2 \Psi = 0$$

Γενική λύση

$$\Rightarrow \Psi(\chi) = A' e^{ikx} + B' e^{-ikx} = C \sin(kx) + D \cos(kx)$$

Επίσης

$$\Rightarrow \frac{d^2 \Psi}{d\chi^2} - \kappa^2 \Psi = 0 \Rightarrow \Psi'' + (i\kappa)^2 \Psi = 0 \Rightarrow \Psi(\chi) = A e^{kx} + B e^{-kx}$$



## 9.5 Καθοδηγούμενα κύματα

Η γενική λύση της (9.182(i)) είναι :

$$X(x) = A \sin(k_x x) + B \cos(k_x x)$$

$$\text{Συνοριακές συνθήκες : } B_x \equiv \frac{dX}{dx} = 0 \quad (9.180(iii)) \text{ για } x = 0 \text{ και } x = a \Rightarrow A = 0$$

$$\Rightarrow \{k_x = m\pi/a \quad (m = 0, 1, 2, \dots) \quad (9.184)$$

$$\Rightarrow \begin{cases} \text{Το ίδιο ισχύει και για την } Y \\ k_y = n\pi/b \quad (n = 0, 1, 2, \dots) \end{cases} \quad (9.185)$$

$$\Rightarrow B_z = B_0 \cos(m\pi x/a) \cos(n\pi y/b) \quad (9.186)$$

Η λύση αυτή ονομάζεται  $EH_{mn} \rightarrow$  τρόπος ταλάντωσης (ο πρώτος δείκτης αναφέρεται στην μεγαλύτερη διάσταση, εδώ υποθέτουμε  $a \geq b$ )

$$(9.184), (9.185), (9.183) \Rightarrow k = \sqrt{(\omega/c)^2 - \pi^2 \left[ (m/a)^2 + (n/b)^2 \right]} \quad (9.187)$$

$$\text{Αν } \omega < c\pi \sqrt{(m/a)^2 + (n/b)^2} \equiv \omega_{mn} \quad (9.188)$$

## 9.5 Καθοδηγούμενα κύματα

Το  $\kappa$  γίνεται φανταστικός και αντί για ένα οδεύουν κύμα, παίρνουμε πεδία που σβήνουν εκθετικά

$\Rightarrow \omega_{mn} \rightarrow$  *συχνότητα αποκοπής*

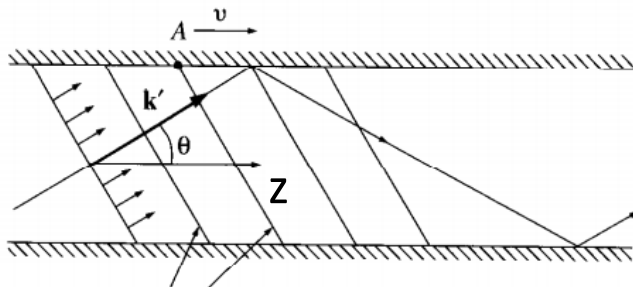
Η μικρότερη συχνότητα είναι εκείνη του  $E_{10}$ :

$$\omega_{10} = c\pi / a$$

ΕΗ κύματα με  $\omega < \omega_{10}$  αδύνατον να διαδοθούν στον κυματοδηγό.

$$\Rightarrow k = \frac{1}{c} \sqrt{\omega^2 - \omega_{mn}^2} \quad (9.190)$$

$$\Rightarrow v = \frac{\omega}{\kappa} = \frac{c}{\sqrt{1 - \left(\frac{\omega_{mn}}{\omega}\right)^2}} \quad (9.191) \xrightarrow{\text{μεταφ. ενέργεια}} v_g = \frac{1}{(d\kappa / d\omega)} = c \sqrt{1 - \left(\frac{\omega_{mn}}{\omega}\right)^2} < c \quad (9.192)$$



Μέτωπα κύματος

Επίπεδο κύμα κινείται με γωνία  $\theta$  ως προ  $z$  και ανακλάται στις αγωγίμες επιφάνειες. Στις κατευθύνσεις  $x$  και  $y$  έχουμε συμβολή κυμάτων με στάσιμες κυματομορφές

## 9.5 Καθοδηγούμενα κύματα

$$\Rightarrow \left\{ \begin{array}{l} \lambda_x = 2\alpha / m \\ \lambda_y = 2b / n \end{array} \right\} \Rightarrow \left\{ \begin{array}{l} k_x = 2\pi / \lambda_x = m\pi / \alpha \\ k_y = 2\pi / \lambda_y = n\pi / b \end{array} \right\}$$

Στην κατεύθυνση  $z$  απομένει ένα οδεύον κύμα με κυματικό αριθμό  $k_z = k$ .

$$\Rightarrow \boxed{\vec{k}' = \frac{m\pi}{\alpha} \hat{x} + \frac{n\pi}{b} \hat{y} + k\hat{z}}$$

$$\Rightarrow \omega = c |\vec{k}'| = c \sqrt{k^2 + \pi^2 \left[ (m/\alpha)^2 + (n/b)^2 \right]} = \sqrt{(ck)^2 + (\omega_{mn})^2}$$

Μόνο κάποιες συγκεκριμένες γωνίες οδηγούν σε επιτρεπόμενες στάσιμες κυματομορφές:

$$\cos \theta = \frac{k}{|\vec{k}'|} = \sqrt{1 - \left( \frac{\omega_{mn}}{\omega} \right)^2}$$

Το επίπεδο κύμα κινείται μεταχύτητα  $c$ , και σχηματίζει γωνία  $\theta$  με τον άξονα  $z$

$$\Rightarrow v_g = c \cos \theta = c \sqrt{1 - \left( \frac{\omega_{mn}}{\omega} \right)^2}$$

## 9.5 Καθοδηγούμενα κύματα

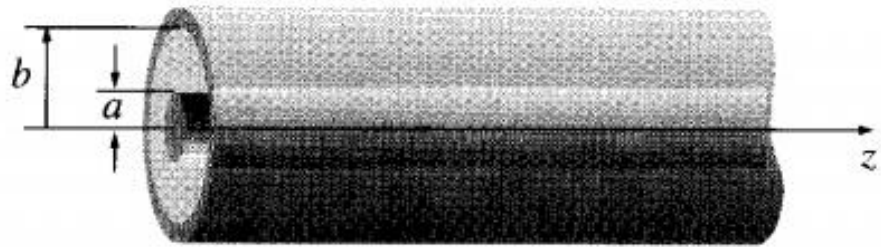
### 9.5.3 Ομοαξονική Γραμμή Μεταφοράς

Σ' αυτή την περίπτωση :

$$E_z = 0 \text{ και } B_z = 0$$

$$\text{Maxwell} \xrightarrow{(9.179)} \boxed{k = \omega / c}$$

$$\rightarrow E_x = cB_y \text{ και } E_y = -cB_x$$



$$\left. \begin{aligned} E_z = 0 &\rightarrow \frac{\partial E_x}{\partial x} + \frac{\partial E_y}{\partial y} = 0, & \frac{\partial E_y}{\partial x} - \frac{\partial E_x}{\partial y} = 0 \\ B_z = 0 &\rightarrow \frac{\partial B_x}{\partial x} + \frac{\partial B_y}{\partial y} = 0, & \frac{\partial B_y}{\partial x} - \frac{\partial B_x}{\partial y} = 0 \end{aligned} \right\} \quad (9.195)$$

Εξισώσεις της ηλεκτροστατικής και μαγνητοστατικής στο κενό σε δύο διαστάσεις.

## 9.5 Καθοδηγούμενα κύματα

Τη λύση τους την παίρνουμε από την αντιστοιχία ενός άπειρου γραμμικού φορτίου και ενός άπειρου ευθύγραμμου ρεύματος:

$$\left. \begin{aligned} \vec{E}_0(r, \phi) &= E_0 \frac{I}{r} \hat{r} & \vec{B}_0(r, \phi) &= \frac{E_0}{c} \frac{I}{r} \hat{\phi} \end{aligned} \right\} \quad (9.196)$$

Θέτοντας τις (9.196) στις (9.176) και παίρνοντας το πραγματικό μέρος έχουμε:

$$\left. \begin{aligned} \vec{E}(r, \phi, z, t) &= E_0 \frac{\cos(kz - \omega t)}{r} \hat{r} \\ \vec{B}(r, \phi, z, t) &= \frac{E_0}{c} \frac{\cos(kz - \omega t)}{r} \hat{\phi} \end{aligned} \right\} \quad (9.197)$$